

## 8. Termodynamické vlastnosti roztokov

### 8.1 FUGACITA ČISTÝCH PLYNOV

Fugacita je dôležitá termodynamická funkcia potrebná na výpočet rovnovážneho zloženia viaczložkových sústav. Pred výpočtom fugacity zložiek v zmesiach sa treba zoznámiť s výpočtom fugacity čistých látok.

Základná rovnica pre zmenu volnej entalpie ľubovoľnej sústavy, v ktorej prebieha vratný proces je

$$dG = -SdT + VdP \quad (8.1-1)$$

Táto rovnica platí všeobecne pre čisté látky a zmesi stáleho zloženia v ľuboľnom skupenstve.

Pre 1 mol čistej látky (alebo zmesi stáleho zloženia) a izotermický proces bude rovnica (8.1-1) v tvare

$$dg = vdP \quad (8.1-2)$$

Ak uvažovanú látku môžeme považovať za ideálny plyn, potom môžeme mоловý objem vyjadriť zo stavovej rovnice ideálneho plynu a rov. (8.1-2) bude v tvare

$$dg = RT \cdot dln P \quad (8.1-3)$$

Pre čistý reálny plyn (alebo akúkolvek reálne tekutinu) by sme museli za mоловý objem dosadiť zo stavovej rovnice reálneho plynu (reálnej tekutiny) a integrácia rov. (8.1-2) by bola obťažná až nemožná. Lewis túto ďažkosť obišiel (1901) tak, že uskutočnil nasledujúci predpoklad: Rovnicu (8.1-2) možno použiť aj pre reálnu tekutinu, ak v nej nahradíme tlak nejakou jeho funkciou. Túto funkciu Lewis nazval fugacita. Pre reálnu tekutinu mohol potom napisať

$$dg = RT \cdot dln f \quad (8.1-4)$$

Diferenciálnou rovnicou (8.1-4) je fugacita definovaná. Na určenie číselnej hodnoty fugacity treba poznať počiatočné podmienky. Lewis preto doplnil rovnicu (8.1-4) predpokladom, že fugacita ideálneho plynu sa rovná jeho tlaku. Pre reálny plyn platí

$$\lim_{P \rightarrow 0} \frac{f}{P} = 1 \quad (8.1-5)$$

t.j. ak sa tlak blíži k nule - čiže stav sa blíži k ideálnemu plynu - blíži sa hodnota fugacity k hodnote tlaku.

Pomer  $f/P$  sa nazýva fugacitný súčiníte  $\varphi$ .

$$\varphi = \frac{f}{P} \quad (8.1-6)$$

Z porovnania rovníc (8.1-2) a (8.1-4) vyplýva

$$RT \cdot d\ln f = v dP$$

Parciálnej deriváciou tejto funkcie podľa tlaku pri stálej teplote dostaneme závislosť fugacity od tlaku

$$\left( \frac{\partial \ln f}{\partial P} \right)_T = \frac{v}{RT} \quad (8.1-7)$$

Závislosť fugacity od teploty určíme z rovnice pre zmenu voľnej entalpie. Ak sa uskutoční izotermická zmena stavu sústavy z východiskového stavu, ktorý nech je štandardný (ideálny plyn) pri nízkom tlaku  $P_*$  ( $f_*, g_*$ ), do nového stavu s vysokým tlakom  $P(f, g)$ , môžeme voľnú entalpiu vyjadriť vzťahom

$$\int_{g_*}^g dg = RT \int_{f_*}^f d\ln f$$

$$g - g_* = RT(\ln f - \ln f_*) \quad (8.1-8)$$

Parciálna derivácia tejto funkcie podľa teploty pri stálom tlaku je

$$\begin{aligned} \left( \frac{\partial g}{\partial T} \right)_P - \left( \frac{\partial g_*}{\partial T} \right)_P &= R(\ln f - \ln f_*) + \\ &+ RT \left[ \left( \frac{\partial \ln f}{\partial T} \right)_P - \left( \frac{\partial \ln f_*}{\partial T} \right)_P \right] \end{aligned} \quad (8.1-9)$$

kde

$$\left( \frac{\partial g}{\partial T} \right)_P = -s, \quad \left( \frac{\partial g_*}{\partial T} \right)_P = -s_*, \quad \left( \frac{\partial \ln f_*}{\partial T} \right)_P = \left( \frac{\partial \ln P_*}{\partial T} \right)_P = 0$$

a z rovnice (8.1-8) vieme vyjadriť

$$\ln f - \ln f_* = \frac{g - g_*}{RT} = \frac{h - Ts - (h_* - Ts_*)}{RT}$$

Po dosadení do rovnice (8.1-9) a jej úprave dostaneme vzťah, ktorý opisuje závislosť zmeny fugacity od teploty

$$\left( \frac{\partial \ln f}{\partial T} \right)_P = \frac{h_* - h}{RT^2} \quad (8.1-10)$$

## 8.2 VÝPOČET NUMERICKÝCH HODNÔT FUGACITY

Na výpočet číselných hodnôt fugacity čistého plynu možno použiť vzťah (8.1-7)

$$\left( \frac{\partial \ln f}{\partial P} \right)_T = \frac{v}{RT}$$

z ktorého integráciou dostaneme

$$RT \int_{f_*}^f d \ln f = \int_{P_*}^P v dP \quad (8.2-1)$$

Na pravej strane musíme však dosadiť vhodnú reláciu medzi objemom a tlakom, a to buď zo stavovej rovnice reálneho plynu z kompresibilitného diagramu danej látky, alebo z generalizovaného kompresibilitného diagamu a pod.

V nasledujúcej časti uvedieme niektoré metódy výpočtu fugacity čistého plynu.

### 8.2.1 Výpočet fugacity pomocou stavových rovníc

Z van der Waalsovej rovnice

$$P = \frac{RT}{v - b} - \frac{a}{v^2}$$

vypočítame  $dP$  a dosadíme do rovnice (8.2-1). Derivácia tlaku podľa objemu pri stálej teplote je

$$\left( \frac{\partial P}{\partial v} \right)_T = - \frac{RT}{(v - b)^2} + \frac{2a}{v^3}$$

a

$$RT \int_{f_*}^f d \ln f = \int_{v_*}^v v \left( \frac{2a}{v^3} - \frac{RT}{(v - b)^2} \right) dv$$

$$\int_{f_*}^f d \ln f = - \int_{v_*}^v \frac{v}{(v - b)^2} dv + \int_{v_*}^v \frac{2a}{RT v^2} dv$$

$$\ln f - \ln f_* = - \ln(v_* - b) + \ln(v - b) +$$

$$+ \frac{b}{v - b} - \frac{b}{v_* - b} - \frac{2a}{RTv} + \frac{2a}{RTv_*}$$

Dolnú integračnú hranicu volíme takú nízku preto, že  $P_* \rightarrow 0$  a súčasne  $v_* \rightarrow \infty$ . V tomto stave bude plyn taký riedený, že možno preň predpokladať platnosť stavovej rovnice ideálneho plynu

$$v_* = \frac{RT}{P_*}$$

Z uvedeného potom vyplýva, že

$$\frac{b}{v_* - b} \rightarrow 0, \quad \frac{2a}{RTv_*} \rightarrow 0$$

$$\ln(v_* - b) \doteq \ln v_* = \ln \frac{RT}{P_*} = \ln RT - \ln P_*$$

a súčasne platí

$$\ln P_* = \ln f_*$$

Ako výsledok vychádza vzťah

$$\ln f = \ln \frac{RT}{v - b} + \frac{b}{v - b} - \frac{2a}{RTv} \quad (8.2-2)$$

Analogickým postupom možno vyjadriť fugacitu zo stavovej rovnice Redlichovej-Kwongovej, podľa ktorej

$$P = \frac{RT}{v - b} - \frac{a}{v(v + b)T^{0,5}}$$

a diferenciál tlaku je

$$dP = - \frac{RT}{(v - b)^2} dv + \frac{a}{T^{0,5}} \frac{2v + b}{v^2(v + b)^2} dv$$

dosadení do rovnice (8.2-1) a jej integrácií a zavedení podobných zjednodušení ako v predchádzajúcom prípade, dostaneme vzťah

$$\ln f = \ln \frac{RT}{v - b} + \frac{b}{v - b} - \frac{a}{RT^{1,5}} \cdot \frac{1}{v + b} + \frac{a}{bRT^{1,5}} \ln \frac{v}{v + b} \quad (8.2-3)$$

Prvé dva členy rovnice na pravej strane sú formálne rovnaké ako v rovnici (8.2-2), číselné hodnoty látkových konštánt  $a, b$  sú však iné.

### 8.2.2 Výpočet fugacity podľa generalizovaného kompresibilitného diagramu

Ak použijeme pre stavové správanie sa reálneho plynu rovniciu

$$Pv = zRT$$

zmenu fugacity môžeme vyjadriť rovnicou

$$RT \cdot d\ln f = z \frac{RT}{P} dP$$

$$d\ln f = z \cdot d\ln P \quad (8.2-4)$$

Pretože súčinatel  $z$  je pre reálne plyny funkciou redukovej teploty a redukovaného tlaku, môžeme pri integrácii rovnice (8.2-4) postupovať graficky, najlepšie na základe generalizovaného kompresibilitného diagramu, alebo na výpočet vypracujeme nový samostatný generalizovaný fugacitný diagram, v ktorom je vyznačený fugacitný súčinatel  $\varphi$  v závislosti od  $T_r$  a  $P_r$ .

Príslušný vzťah k uvedenému postupu odvodíme z rovnice (8.2-4). Uskutočníme ekvivalentnú úpravu - odpočítame na pravej a ľavej strane rovnice (8.2-4) výraz  $d\ln P$ .

$$d\ln f - d\ln P = (z - 1) d\ln P$$

$$d\ln \frac{f}{P} = d\ln \varphi = (z - 1) d\ln P$$

$$\int_{\varphi_*}^{\varphi} d\ln \varphi = \int_{P_*}^P (z - 1) d\ln P$$

Zo dolnej hranice pre integráciu znova volíme stav ideálneho plynu, t.j.

$$P_* \rightarrow 0, f_* = P_* \text{ a } \varphi_* = 1.$$

Po integrácii dostaneme

$$\ln \varphi = \int_{P_*}^P (z - 1) d\ln P = - \int_0^P \frac{(1 - z)}{P} dP \quad (8.2-5)$$

Do rovnice zavedieme redukované veličiny  $P_r$  a  $T_r$ .

$$\ln \varphi = - \int_0^{P_r} \frac{(1 - z)}{P_r} dP_r \quad (8.2-6)$$

Integráciu na pravej strane možno uskutočniť graficky, ak máme k dispozícii generalizovaný kompresibilitný diagram  $z = z(T_r, P_r)$ . Použitím týchto údajov možno fugacitný koeficient  $\varphi$  vyjadriť graficky (podobne ako  $z$ ) v závislosti od redukovaného tlaku  $P_r$  a redukovanej teploty  $T_r$ . Generalizovaný fugacitný diagram je na obr. 8.1. Práca s diagramom je podobná ako práca s generalizovaným kompresibilitným diagramom.

### 8.2.3 Výpočet na základe izotermickej odchýlky od fugacity ideálneho plynu

Fugacitu čistého reálneho plynu alebo reálnej plynnej zmesi stáleho zloženia môžeme vypočítať na základe úvah o izotermických odchýlkach termodynamických funkcií v kap. 5, odstavec 5.1 a 5.4.

Podľa definičného vzťahu pre fugacitu (rov. (8.1-4)) čistej zložky platí

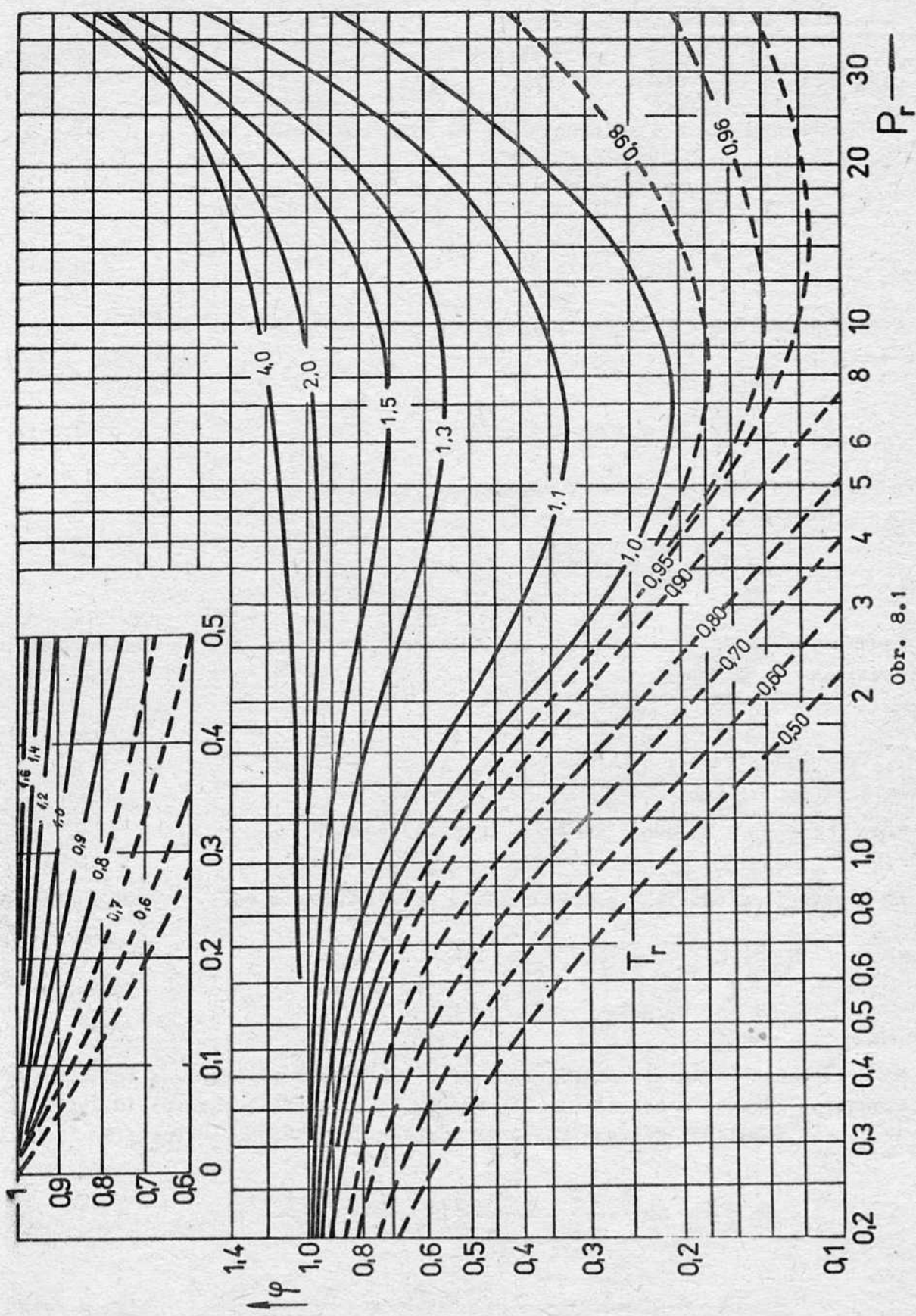
$$dg = RT \cdot d\ln f$$

Po integrácii medzi štandardným stavom ideálneho plynu a reálnym stavom bude

$$g - g^\circ = \Delta g = RT \cdot \ln \frac{f}{f^\circ} \quad (8.2-7)$$

Z rovnice (5.2-9) vyplýva, že izotermická odchýlka volnej entalpie je

$$\Delta g = \frac{\Delta F}{n} + RT(z - 1) \quad (8.2-8)$$



Obr. 8.1

Generalizovaný fugacitný diagram

V spojení s rovnicou (8.2-7) bude

$$RT \cdot \ln \frac{f}{f^0} = \frac{\Delta F}{n} + RT(z - 1) \quad (8.2-9)$$

V štandardnom stave ideálneho plynu sa fugacita rovná tlaku, t.j.  $f^0 = P_0$ .  
Preto

$$f^0 v_0 = RT$$

$$\ln f^0 + \ln v_0 = \ln RT \quad (8.2-10)$$

V uvažovanom stave reálneho plynu potom je

$$Pv = zRT$$

$$\ln P + \ln v = \ln z + \ln RT \quad (8.2-11)$$

Z rovníc (8.2-10) a (8.2-11) vypočítame  $\ln f^0$

$$\ln f^0 = \ln P + \ln \frac{v}{v_0} - \ln z$$

a dosadíme do rovnice (8.2-9), čím dostaneme vzťah na výpočet fugacitného koeficientu  $\varphi$

$$\ln \frac{f}{P} = \ln \varphi = \frac{\Delta f}{RT} + \ln \frac{v}{v_0} + z - 1 - \ln z \quad (8.2-12)$$

kde  $\Delta f = \frac{\Delta F}{n}$  je odchýlka mólovej volnej energie.

Po dosadení za odchýlku mólovej volnej energie  $\Delta f$  z rov. (5.2-2) dostaneme

$$\ln \varphi = \frac{1}{RT} \int_{\infty}^v \left( P - \frac{RT}{v} \right) dv - \ln z + z - 1 \quad (8.2-13)$$

Na vyčislenie integrálu môžeme zaviesť vzťah  $P = f(v)$  napr. z Redlichovej-Kwongovej rovnice a súčinitel'  $z = Pv/RT$ . Po integrácii rovnice (8.2-13) za uvedených podmienok získame vzťah na výpočet fugacitného súčinitela

$$\begin{aligned} \ln \varphi = & - \ln \frac{v - b}{v} - \frac{a}{bRT^{1,5}} \ln \frac{v + b}{v} + \frac{b}{v - b} - \\ & - \frac{a}{R(v + b)T^{1,5}} - \ln \left[ \frac{v}{v - b} - \frac{a}{R(v + b)T^{1,5}} \right] \end{aligned} \quad (8.2-14)$$

Rovnice (8.2-13) a (8.2-14) neobsahujú žiadny parameter štandardného stavu, hodnota fugacitného súčiniteľa nezávisí od volby štandardného stavu.

Fugacitný koeficient možno určiť aj priamo z izotermickej odchýlky volnej entalpie  $\Delta g$ . Ak do rovnice (8.2-7) dosadíme za  $\Delta g$  priamo vzťah (5.4-3) dostaneme

$$\ln \frac{f}{f^0} = \frac{\Delta g}{RT} = \frac{1}{RT} \left[ \int_0^P \left( v - \frac{RT}{P} \right) dP + RT \ln \frac{P}{P^0} \right]$$

Po uskutočnení ekvivalentnej úpravy tým, že na ľavej a pravej strane rovnice odčítame  $\ln P$  a vychádzajúc z faktu, že v štandardnom stave je  $f^0 = P^0$ , doataneme

$$\ln \frac{f}{P} = \ln \varphi = \frac{1}{RT} \int_0^P \left( v - \frac{RT}{P} \right) dP \quad (8.2-15)$$

Na vyčíslenie integrálu treba v vyjadriť ako funkciu  $P$  z vhodnej stavej rovnice reálneho plynu.

#### 8.2.4 Výpočet fugacity podľa Leea a Keslera

Na základe generalizovanej rovnice Benedictovej-Rubinovej odvodili Lee a Kesler (podobne ako pre zmenu entalpie) vzťah na výpočet fugacitného súčiniteľa

$$\ln \varphi = (\ln \varphi)^{(0)} + \frac{\omega}{\omega_K} \left[ (\ln \varphi)^{(R)} - (\ln \varphi)^{(0)} \right]$$

kde index (0) označuje hodnoty jednoduchej tekutiny a index (R) hodnoty referenčnej tekutiny (n-oktánu).

V zjednodušenej forme potom

$$\ln \varphi = (\ln \varphi)^{(0)} + \omega (\ln \varphi)^{(1)} \quad (8.2-16)$$

kde index (1) označuje korekčnú hodnotu vzhľadom na reálnosť tekutiny a  $\omega$  je acentrický faktor. Na základe testovania väčšieho množstva látok zostavili autori výpočtové generalizované tabuľky XII a XIV, ktoré sú uvedené v prílohe. Tieto tabuľky platia pre výpočet dekadického logaritmu fugacitného súčiniteľa.

$$\log \varphi = (\log \varphi)^{(0)} + (\log \varphi)^{(1)} \quad (8.2-17)$$

Pomocou tabuľiek možno ľahko vypočítať fugacitný koeficient reálneho plynu aj kvapaliny.

### 8.3 FUGACITA KVAPALÍN A TUHÝCH LÁTOK

Pojem fugacity môžeme použiť rovnako pri kvapalinách a tuhých látkach ako aj pri plynoch.

V odstavci 4.7 sme odvodili podmienku termodynamickej rovnováhy pre sústavu s jednou zložkou o dvoch fázach - vzťah (4.7-15)

$$\mu_i^I = \mu_i^{II} \quad \text{resp.} \quad g_i^I = g_i^{II}$$

Môlová volná entalpia látky v jednej fáze (napr. kvapalnej) sa musí rovnať môlovej volnej entalpii v druhej fáze (napr. parnej). Volná entalpia sústavy sa v rovnováhe nemení

$$G = \text{konšt.}, \quad dG = 0$$

a pre 1 mol platí

$$g = \text{konšt.}, \quad dg = 0$$

Spojením s rovnicou (8.1-3) dostaneme

$$dg = RT \cdot d\ln f = 0$$

$$\int_{g^I}^{g^{II}} dg = RT \int_{f^I}^{f^{II}} d\ln f \quad g^{II} - g^I = 0 = RT \cdot \ln \frac{f^{II}}{f^I}$$

a teda

$$f^I = f^{II} \quad (8.3-1)$$

Pre sústavu v termodynamickej rovnováhe súčasne platí, že fugacita zložky v jednej fáze sa rovná fugacite tej istej zložky v druhej fáze.

Pre prípad rovnováhy vriaca kvapalina - sýta para sa musí rovnať fugacita vriacej kvapaliny fugacite jej sýtej pary. Fugacitu sátej pary potom vypo-

čítame ako fugacitu reálneho plynu. Pri malých tlakoch ju môžeme považovať za rovnú tenzii páru.

Fugacitu kvapaliny, ktorá nie je pri teplote varu (je pod tlakom vyšším ako je tenzia páru pri danej teplote), vypočítame použitím rovnice (8.1-7)

$$\int_{f_{P_0}}^f d \ln f = \frac{1}{RT} \int_{P_0}^P v dP$$

kde za  $v$  dosadíme závislosť mоловého objemu kvapaliny od tlaku. Pretože tato závislosť je pri nižších tlakoch malá, dosadíme za mоловý objem jeho priemernú hodnotu v uvažovanom rozpätí tlakov pri danej teplote. Fugacitu súej pary  $f_{P_0}$  pri tlaku páru  $P_0$  môžeme predtým vypočítať niektorou metódou výpočtu fugacity reálnych plynov.

Fugacitu tuhej látky vypočítame z rovnovážnej podmienky pre rovnováhu tuhá fáza - para tuhej fázy, alebo pre rovnováhu tuhá fáza - kvapalina, t.j.

$$f^s = f^g \quad \text{resp.} \quad f^s = f^l \quad (8.3-2)$$

Fugacita tuhej látky sa rovná fugacite jej pary pri sublimácii. Pretože sublimácia sa spravidla uskutočňuje pri nízkych tlakoch, môžeme fugacitu tuhej látky považovať za rovnú sublimačnému tlaku

$$f^s = P_{\text{sub}} \quad (8.3-3)$$

#### 8.4 FUGACITA ZLOŽIEK V IDEÁLNYCH ROZTOKOCH

Ak zložky tvoria ideálny roztok, potom fugacitu každej zložky v roztoku vypočítame podľa rovnice (7.1-1)

$$f_i = c_i^n f_i^0$$

pre kvapalný roztok

$$f_i^l = x_i f_i^0 (1) \quad (8.4-1)$$

a pre plynný roztok

$$f_i^g = y_i f_i^0 (g) \quad (8.4-2)$$

kde  $f_i^0$  je fugacita čistej (samotnej) zložky pri rovnakej teplote, tlaku a skupenstve aké má príslušná fáza. Inými slovami ide o fugacitu zložky v standardnom stave, ktorý sa však pri výpočte ideálnych roztokov volí ako "stav čistej zložky pri teplote, tlaku a skupenstve fázy". Zložka má pre každú fázu iný standardný stav a preto aj inú standardnú fugacitu, v našom prípade  $f_i^{0(1)}$ ,  $f_i^{0(g)}$ .

Pri danej teplote a tlaku každá čistá látka existuje v skupenstve, ktoré je už určené touto teplotou a tlakom. V rovniciach (8.4-1) a (8.4-2) je reálna vždy len jedna z oboch standardných hodnôt fugacity. Druhá je hypotetická a musíme ju určiť extrapoláciou do druhej fázy.

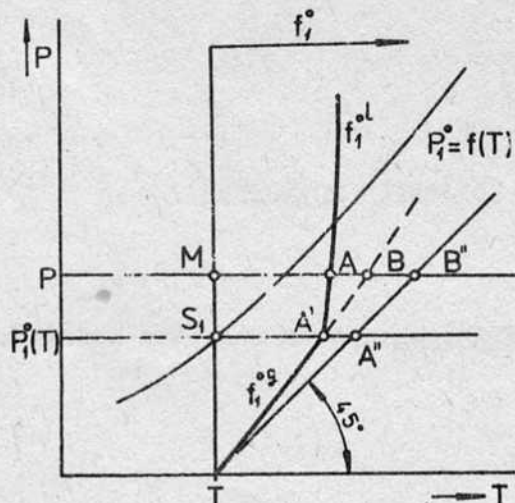
Predpokladajme, že máme dvojzložkovú rovnovážnu sústavu kvapalina - para pri teplote  $T$  a tlaku  $P$ . Sústava obsahuje zložku 1, ktorá má pri danej teplote tenziu pár nižšiu ako je celkový tlak sústavy, t.j.

$$P_1^0(T) < P$$

a zložku 2, ktorá má naopak pri teplote  $T$  tenziu pár vyššiu ako tlak sústavy

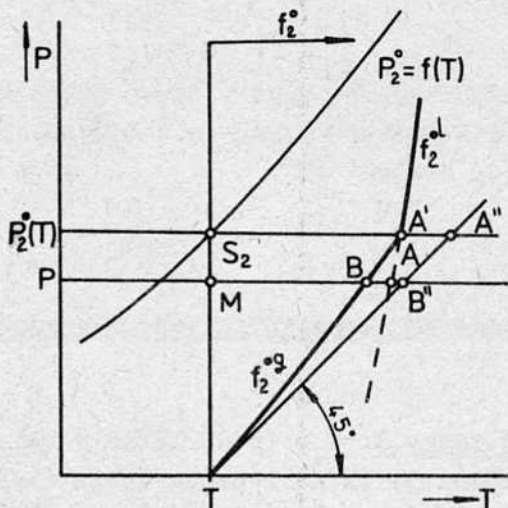
$$P_2^0(T) > P$$

Priebeh tenzie čistých zložiek 1, 2 v závislosti od teploty je na obr. 8.2 a 8.3, v ktorých je zakreslený aj priebeh fugacity  $f_1^0$  a  $f_2^0$ .



Obr. 8.2

Priebeh tenzie pár a fugacity čistej zložky 1 v závislosti od teploty pre prípad  $P_1^0(T) < P$



Obr. 8.3

Priebeh tenzie pár a fugacity čistej zložky 2 v závislosti od teploty pre prípad  $P_2^o(T) > P$

Priebeh fugacity čistej zložky 1 pri stálej teplote  $T$  je v závislosti od tlaku vyznačený krivkou  $f_1^o$  na obr. 8.2. Skutočný stav zložky 1 pri parametroch sústavy  $P, T$  je zobrazený bodom  $M$ , ktorý leží v kvapalnej oblasti diagramu. Fugacita  $f_1^o(1)$  čistej kvapalnej zložky v tomto stave je hodnota reálnej, daná úsečkou  $\overline{MA}$ . Naproti tomu fugacita  $f_1^o(g)$  čistej plynnnej zložky pri parametroch  $P, T$  je hypotetická a rovná sa úsečke  $\overline{MB}$ , ktorej bod  $B$  leží na extrapolovanej časti kriky, ktorá udáva fugacitu parnej fázy.

Zjednodušenie. Ak nie je veľký rozdiel medzi tlakom sústavy  $P$  a tenziou čistej látky  $P_1^o(T)$ , potom fugacita čistej kvapalnej zložky 1 pri tlaku  $P$  sa lísi len málo alebo zanedbatelne od fugacity čistej kvapalnej zložky 1 pri teplote varu (t.j. v bode  $S_1$ ) danej úsečkou  $\overline{S_1A'}$

$$f_1^o(1) = \overline{MA} \approx \overline{S_1A'}$$

V prípade, že ide o nižšie tlaky, keď môžeme sýtu paru považovať za ideálny plyn, fugacita pary sa rovná tenzii pár  $P_1^o(T)$  danej úsečkou  $\overline{S_1A''}$

$$f_1^o(1) = P_1^o(T) \quad (8.4-3)$$

V najjednoduchšom prípade teda dosadíme za fugacitu čistej kvapalnej zložky jej tenziu pár pri danej teplote sústavy.

Keby existovala v bode  $M$  (obr. 8.2) čistá plynná zložka 1, musela by byť jej fugacita určená krivkou fugacity  $f_1^o(g)$ , ktorá prebieha reálne len do tlaku  $P_1^o(T)$ . Ak ju však extrapolujeme až do bodu  $B$  daného tlakom sústavy  $P$ , získame hypotetickú hodnotu fugacity danú úsečkou  $\overline{MB}$ .

$$f_1^o(g) = \overline{MB}$$

Ak je však tlak  $P$  taký nízky, že plyn v tomto stave možno považovať za ideálny, rovná sa fugacita čistého plynu priamo jeho tlaku  $P$ , ktorému na obr. 8.2 súčasne odpovedá úsečka  $\overline{MB''}$ .

$$f_1^o(g) = P \quad (8.4-4)$$

V takomto prípade dosadíme za fugacitu čistej plynnej zložky celkový tlak sústavy.

Priebeh fugacity čistej látky 2. V prípade látky 2 bude situácia odlišná. Podľa pôvodného predpokladu je látka 2 prchavejšia (t.j. má pri rovnakej teplote varu vyšiu tenziu páru) ako látka 1, takže bod varu  $S_2$  čistej látky 2 leží pri danej teplote nad teplotou varu  $M$  zmesi. V bode  $M$  je čistá zložka 2 v plynnom stave, reálna je preto len jej fugacita  $f_2^o$  daná úsečkou  $\overline{MB}$  na obr. 8.3. Fugacita čistej kvapalnej zložky 2 v stave  $M$  je hypotetická, daná úsečkou  $\overline{MA}$ . Bod  $A$  leží na extrapolovanej časti krvky  $f_2^{o(1)}$ .

Zjednodušenie. Ak tenzia páru čistej zložky  $P_2^o(T)$  je len o málo väčšia ako tlak sústavy, potom medzi fugacitou čistej kvapalnej zložky 2 danou úsečkou  $\overline{MA}$  a jej fugacitou v bode varu  $S_2$  danou úsečkou  $\overline{S_2A'}$  je len zanedbateľný rozdiel

$$f_2^{o(1)} = \overline{MA} \approx \overline{S_2A'}$$

Fugacita kvapaliny pri teplote varu sa však rovná fugacite jej sýtej paru. Pri nižších tlakoch, keď môžeme považovať sýtu paru za ideálny plyn, sa jej fugacita rovná jej tenzii, teda úsečke  $\overline{S_2A''}$  (priamka  $m$  udáva priebeh fugacity ideálneho plynu  $f = P$ ). Môžeme preto napísat

$$f_2^{o(1)} = P_2^o(T) \quad (8.4-5)$$

Pri nízkom tlaku  $P$  je len veľmi malý rozdiel medzi fugacitou čistej plynnej zložky 2 v bode  $M$  danou úsečkou  $\overline{MB}$  a fugacitou ideálneho plynu danou úsečkou  $\overline{MB''}$ , preto

$$f_2^o(g) = P \quad (8.4-6)$$

t.j. fugacita čistej plynnej zložky 2 sa v najjednoduchšom prípade rovná tlaku sústavy. Pri extrapoláciach do hypotetickej oblasti vzniká určitá nepresnosť, a to tým väčšia čím väčšia je extrapolácia. Ak je niektorá čistá zložka pri  $T, P$  už v nadkritickom stave, treba postupovať podľa postupu vysvetleného ďalej.

Pre parnú fázu, ktorú môžeme považovať za zmes ideálnych plynov, platí podľa rovnice (8.4-1) a (8.4-2) (ako pre ideálny roztok)

$$f_i^g = y_i f_i^o(g)$$

$$f_i^o(g) = P$$

takže

$$f_i^g = y_i P$$

Pre takúto zmes platí súčasne aj Daltonov zákon

$$P_i = y_i P$$

Z porovnania oboch rovníc vyplýva

$$f_i^g = P_i \quad (8.4-7)$$

t.j. fugacita zložky v zmesi ideálnych plynov sa rovná jej parciálnemu tlaku.

## 8.5 FUGACITA ZLOŽIEK V REÁLNYCH ROZTOKOCH

Fugacita zložiek v reálnych roztokoch je daná Lewisovým vzťahom (podobným ako vzťah (8.1-4) pre fugacitu čistej zložky).

$$d\bar{g}_i = d\mu_i = RT \cdot d\ln f_i \quad [T] \quad (8.5-1)$$

Integráciou za stálej teploty medzi zvoleným štandardným stavom čistej zložky a konečným stavom zložky v roztoku dostaneme rovnosť

$$\bar{g}_i - g_i^o = \mu_i - \mu_i^o = RT \cdot \ln \frac{f_i}{f_i^o} \quad (8.5-2)$$

kde  $\bar{g}_i = \mu_i$  je parciálna volná entalpia (chemický potenciál) zložky v roztoku a

$g_i^o = \mu_i^o$  - mоловá volná entalpia čistej zložky v štandardnom stave.

Podobne ako sme vzťahom (8.1-6) zaviedli pre čistú plynnú zložku hodnotu fugacitného súčinitela  $\varphi = f/P$ , zavedieme pre zložku v reálnom roztoku fugacitný súčinitlel

$$\varphi_i = \frac{f_i}{P_i} \quad (8.5-3)$$

Fugacity jednotlivých čistých zložiek odlišime indexami i, o, takže rovnica (8.5-3) sa formálne zmení na tvar

$$\varphi_i^o = \frac{f_i^o}{P} \quad (8.5-4)$$

V prípade ideálneho plynného roztoku bude fugacitný súčinatel zložky

$$\varphi_i = \frac{f_i}{P_i} = \frac{c_i^n f_i^o}{c_i^n P} = \frac{f_i^o}{P} \quad (8.5-5)$$

teda rovnaký ako pre čistú látku. V zmesi ideálnych plynov, kde  $f_i = P_i$ , je  $\varphi_i = 1$ .

Fugacitu čistej zložky  $f_i^o$  môžeme reálne určiť len v prípade, že poznáme tenziu látky za danej teploty. Pri relatívne neprchavých látkach je výhodnejšie zaviesť pojem aktivity.

Aktivita zložky v roztoku je definovaná vzťahom

$$\frac{a_i}{a_i^o} = \frac{f_i}{f_i^o} \quad [T] \quad (8.5-6)$$

kde  $f_i$ ,  $a_i$  je fugacita a aktivita zložky v roztoku a

$f_i^o$ ,  $a_i^o$  - fugacita a aktivita zložky v ľubovoľne zvolenom štandardnom stave.

Treba mať na zreteli rozdiel v definícii štandardného stavu čistej látky v rovnicach na výpočet fugacity ideálneho roztoku a štandardného stavu čistej látky pri výpočte aktivity. V prvom prípade je štandardný stav jednoznačne určený teplotou, tlakom a skupenstvom roztoku, v druhom prípade môžeme voľiť rôzne parametre štandardného stavu. O spôsobe tejto voľby sa budeme zoberať v kap. 8.7.

Aktivitu čistej zložky vo zvolenom štandardnom stave považujeme za rovnú jednej, t.j.  $a_i^o = 1$ . Na numerický výpočet aktivity môžeme teda použiť rovnicu (8.5-6) v tvaru

$$a_i = \frac{f_i}{f_i^o} \quad (8.5-7)$$

Na výpočet číselnej hodnoty aktivity má volba štandardného stavu zásadný význam. Aktivitu zložky v roztoku môžeme chápať ako termodynamický účinnú koncentráciu. Aktivita je bezrozmerná veličina rovnako ako mоловý zlomok (fugacity má rozmer tlaku).

Aktivitný súčinatel' zložky v roztoku  $\gamma_i$  sa definuje ako podiel aktivity zložky a jej koncentrácie v roztoku. Ak použijeme mоловý zlomok, potom

$$\gamma_i = \frac{a_i}{c_i^n} \quad (8.5-8)$$

Pre reálny kvapalný roztok (kvapalnú fázu) bude aktivitný koeficient

$$\gamma_i^l = \frac{a_i^l}{x_i} = \frac{f_i^l}{f_i^o(l)x_i} \quad (8.5-9)$$

a pre reálny plynný roztok (plynnú alebo parnú fázu)

$$\gamma_i^g = \frac{a_i^g}{y_i} = \frac{f_i^g}{f_i^o(g)y_i} \quad (8.5-10)$$

Pre ideálny roztok (kvapalný alebo plynný)  $\gamma_i = 1$ .

#### 8.5.1 Závislosť fugacity, aktivity a aktivitného súčinítela od tlaku sústavy

Základom je odvodenie závislosti fugacity od tlaku, pričom vychádzame z Lewissovej rovnice (8.1-4)

$$d\mu_i = RT \cdot d\ln f_i \quad [T]$$

Delením tejto rovnice diferenciálom  $dP$  pri stálej teplote a zložení dostaneme

$$\left( \frac{\partial \mu_i}{\partial P} \right)_{T, n_i} = RT \left( \frac{\partial \ln f_i}{\partial P} \right)_{T, n_i} \quad (8.5-11)$$

Pretože podľa Maxwellovej rovnice (G-2.3) platí

$$\left( \frac{\partial n_i}{\partial P} \right)_{T, n_j} = \left( \frac{\partial v}{\partial n_i} \right)_{T, P, n_j} = \bar{v}_i$$

dostaneme po dosadení do rovnice (8.5-11) hľadanú závislosť fugacity zložky od tlaku

$$\left( \frac{\partial \ln f_i}{\partial P} \right)_{T, n_i} = \frac{\bar{v}_i}{RT} \quad (8.5-12)$$

Táto rovnica je zároveň východiskovou rovnicou na výpočet číselnej hodnoty fugacity zložiek v zmesi.

Závislosť aktivity zložky od tlaku sústavy potom ľahko odvodíme z rovnice (8.5-12).

Pre čistú zložku je

$$\left( \frac{\partial \ln f_i^0}{\partial P} \right)_T = \frac{v_i^0}{RT} \quad (8.5-13)$$

a z rovníc (8.5-12), (8.5-13) a (8.5-7) vyplýva

$$\left( \frac{\partial \ln a_i}{\partial P} \right)_{T, n_i} = \frac{\bar{v}_i - v_i^0}{RT} \quad (8.5-14)$$

Závislosť aktivitného súčinitela od tlaku sústavy možno vypočítať z rovníc (8.5-14) a (8.5-8).

$$a_i = \gamma_i c_i^n, \quad \ln a_i = \ln \gamma_i + \ln c_i^n$$

Dériváciou podľa tlaku pri stálej teplote a zložení dostaneme

$$\left( \frac{\partial \ln a_i}{\partial P} \right)_{T, n_i} = \left( \frac{\partial \ln \gamma_i}{\partial P} \right)_{T, n_i} = \frac{\bar{v}_i - v_i^0}{RT} \quad (8.5-15)$$

protože derivácia  $\ln c_i^n$  podľa tlaku pri konštantnom zložení sa rovná nule.

8.5.2 Závislosť fugacity, aktivity a aktivitného súčiniteľa od teploty sústavy

V kapitole 8.1 sme odvodili vzťah pre závislosť fugacity čistej zložky od teploty sústavy (8.1-10)

$$\left( \frac{\partial \ln f}{\partial T} \right)_P = \frac{h_* - h}{RT^2}$$

Podobným spôsobom možno získať vzťah pre fugacitu zložky v roztoku v závislosti od teploty sústavy

$$\left( \frac{\partial \ln f_i}{\partial T} \right)_{P, n_i} = \frac{\bar{h}_i^* - \bar{h}_i}{RT^2} \quad (8.5-16)$$

kde  $\bar{h}_i^*$ ,  $\bar{h}_i$  sú parciálne mоловé entalpie zložky v stave ideálneho plynu prípadne v reálnom stave.

Závislosť aktivity  $a_i$  od teploty odvodíme z rovnice (8.5-16). Pre čistú látku (protože  $f_i = f_i^0$  a  $\bar{h}_i = h_i^0$ ) bude

$$\left( \frac{\partial \ln f_i^0}{\partial T} \right)_{P, n_i} = \frac{h_i^{0*} - h_i^0}{RT^2} \quad (8.5-17)$$

Z rovnice (8.5-16), (8.5-17) a (8.5-7) dostaneme

$$\left( \frac{\partial \ln a_i}{\partial T} \right)_{P, n_i} = \frac{h_i^0 - \bar{h}_i}{RT^2} \quad (8.5-18)$$

protože pri veľmi nízkom tlaku predpokladáme existenciu ideálneho roztoku, pre ktorý platí  $\bar{h}_i^* = h_i^{0*}$ .

Závislosť aktivitného súčiniteľa od teploty bude pri stálom zložení a vzhľadom na rovnicu (8.5-8) rovná

$$\left( \frac{\partial \ln \gamma_i}{\partial T} \right)_{P, n_i} = \frac{h_i^0 - \bar{h}_i}{RT^2} \quad (8.5-19)$$

8.5.3 Závislosť fugacity, aktivity a aktivitného súčinu  
od zloženia sústavy

Túto závislosť vypočítame z Gibbsovej-Duhemovej rovnice (7.3-6a) (pozri tab. 7.1), podľa ktorej pri stálej teplote a stálom tlaku platí

$$\sum_i n_i d\mu_i = 0$$

Ak budeme uvažovať 1 mol zmesi,  $\sum_i n_i = 1$  mol a teda  $n_i = c_i^n = x_i$ , rovnica (7.4-6a) potom bude

$$\sum_i x_i d\mu_i = 0 \quad (8.5-20)$$

Pretože  $d\mu_i = RT \cdot d\ln f_i$ , dostaneme ďalej

$$\sum_i x_i d\ln f_i = 0 \quad (8.5-21)$$

Pretože  $a_i = f_i/f_i^0$ , bude  $d\ln a_i = d\ln f_i$  (protože  $f_i^0$  je konštanta) a tak dostaneme Gibbsovú-Dugemovu rovnicu pre aktivitu

$$\sum_i x_i d\ln a_i = 0 \quad (8.5-22)$$

Ak dosadíme za aktivitu  $\gamma_i x_i$  a uskutočníme deriváciu súčinu, dostaneme Gibbsovú-Duhemovu rovnicu pre aktivitný koeficient

$$\sum_i x_i d\ln \gamma_i = 0 \quad (8.5-23)$$

preto, lebo

$$\sum_i x_i = 1 \quad \text{a} \quad \sum_i dx_i = 0$$

Závislosti od zmeny zloženia  $x_k$  potom dostaneme z rovníc (8.5-21), (8.5-22) a (8.5-23)

$$\sum_i x_i \frac{\partial \ln f_i}{\partial x_k} = 0 \quad (8.5-24)$$

$$\sum_i x_i \frac{\partial \ln f_k}{\partial x_i} = 0 \quad (8.5-25)$$

$$\sum_i x_i \frac{\partial \ln a_i}{\partial x_k} = 0 \quad (8.5-26)$$

$$\sum_i x_i \frac{\partial \ln a_k}{\partial x_i} = 0 \quad (8.5-27)$$

$$\sum_i x_i \frac{\partial \ln \gamma_i}{\partial x_k} = 0 \quad (8.5-28)$$

$$\sum_i x_i \frac{\partial \ln \gamma_k}{\partial x_i} = 0 \quad (8.5-29)$$

Tieto Gibbsove-Duhemove rovnice môžeme použiť na overenie zistených fugacít, aktivít a aktivitných súčiniek, alebo z nich chýbajúcu veličinu pre niektorú zložku dopočítať.

Východiskom pre všetky výpočty sú však numerické hodnoty fugacít. Z nich a z hodnôt fugacity v štandardnom stave potom určíme aktivity a aktivitné súčinitele dôležité na výpočty fázových rovnováš.

## 8.6 VÝPOČET NUMERICKÝCH HODNÔT FUGACITY ZLOŽIEK V REÁLNYCH ROZTOKOV

Na výpočet fugacity v závislosti od tlaku budeme integrovať rovnicu (8.5-12) pri stálej teplote a zložení v medziach od veľmi nízkeho tlaku  $P^* \rightarrow 0$  (kedy  $f_i^* = P_i^* = c_i^n P^*$ ) do skutočného tlaku  $P$ , takže dostaneme

$$\ln f_i - \ln f_i^* = \int_{P^*}^P \frac{\bar{v}_i}{RT} dP \quad (8.6-1)$$

Uakutočníme ekvivalentnú úpravu tým, že odčítame na oboch stranách rovnice  $\ln P_i$

$$\ln \varphi_i = \int_{P^*}^P \frac{\bar{v}_i}{RT} dP - \ln \frac{P_i}{f_i^*}$$

kde

$$\varphi_i = \frac{f_i}{P_i}, \quad \frac{P_i}{f_i^*} = \frac{y_i P}{y_i P^*} = \frac{P}{P^*}, \quad \ln \frac{P}{P^*} = \int_{P^*}^P \frac{1}{P} dP$$

takže

$$\ln \varphi_i = \int_{P^*}^P \left( \frac{\bar{v}_i}{RT} - \frac{1}{P} \right) dP \quad (8.6-2)$$

Ak napíšeme rovnica (8.6-1) pre fugacitu čistej zložky, dostaneme

$$\ln f_i^0 - \ln f_i^{0*} = \int_{P^*}^P \frac{v_i^0}{RT} dP \quad (8.6-3)$$

Potom odčítaním rovnice (8.6-3) od rovnice (8.6-1) dostaneme

$$\ln \frac{f_i f_i^{0*}}{f_i^0 f_i^*} = \int_{P^*}^P \frac{\bar{v}_i - v_i^0}{RT} dP \quad (8.6-4)$$

Pretože  $f_i^{0*} = P^*$  a  $f_i^* = P_i^* = y_i P^*$ , rovnica (8.6-4) prejde na tvar

$$\ln \frac{f_i}{y_i f_i^0} = \frac{1}{RT} \int_{P^*}^P (\bar{v}_i - v_i^0) dP \quad (8.6-5)$$

Pre ideálny roztok je  $\bar{v}_i = v_i^0$  a rovnica (8.6-5) potom bude v tvare

$$\ln \frac{f_i}{y_i f_i^0} = 0$$

teda

$$f_i = f_i^0 y_i$$

čo je v zhode s rovnicou (7.1-1) pre fugacitu zložky v ideálnom roztoku.

Ak chceme použiť stavové rovnice s explicitným vyjadrením tlaku bude vhodnejšie upraviť rovnicu (8.5-1) na iný tvar ako má rovnica (8.5-12), t.j.

$$\left( \frac{\partial \mu_i}{\partial V} \right)_{T, n_i} = RT \left( \frac{\partial \ln f_i}{\partial V} \right)_{T, n_i}$$

kde podľa Maxwellovej rovnice

$$\left( \frac{\partial \mu_i}{\partial V} \right)_{T, n_i} = - \left( \frac{\partial P}{\partial n_i} \right)_{T, V, n_j}$$

Tým sme dostali výsledok

$$\left( \frac{\partial \ln f_i}{\partial V} \right)_{T, n_i} = - \frac{1}{RT} \left( \frac{\partial P}{\partial n_i} \right)_{T, V, n_j} \quad (8.6-6)$$

Rovnicu integrujeme od stavu  $P^* \rightarrow 0$  ( $V^* \rightarrow \infty$ ) do stavu  $P(V)$ .

$$\ln f_i - \ln f_i^* = - \frac{1}{RT} \int_{V^*}^V \left( \frac{\partial P}{\partial n_i} \right)_{T, V, n_j} dV \quad [T, n_i]$$

Na oboch stranach rovnice opäť odčítame výraz  $\ln P_i$

$$\ln \varphi_i = - \frac{1}{RT} \int_{V^*}^V \left( \frac{\partial P}{\partial n_i} \right)_{T, V, n_j} dV - \ln \frac{P_i}{f_i^*}$$

pričom

$$\frac{P_i}{f_i^*} = \frac{y_i P}{y_i P^*} = \frac{zn RT V^*}{Vn RT} = z \frac{V^*}{V}$$

takže

$$\ln \frac{P_i}{f_i^*} = \ln z + \ln \frac{V^*}{V} = \ln z + \int_{V^*}^V \frac{1}{V} dV$$

Celkove potom

$$\ln \varphi_i = - \frac{1}{RT} \int_{V^*}^V \left[ \left( \frac{\partial P}{\partial n_i} \right)_{T, V, n_j} - \frac{RT}{V} \right] dV - \ln z \quad (8.6-7)$$

kde  $\varphi_i$  je fugacitný súčinatel' zložky v roztoku,

$V$  - celkový objem zmesi,

$z$  - kompresibilitný súčinatel' zmesi.

Aby sme mohli rovnicu (8.6-7) integrovať, treba poznáť parciálne deriváciu tlaku podľa látkového množstva i-tej zložky. Túto deriváciu vypočítame napr. zo stavovej rovnice s explicitne vyjadreným tlakom. Ak použijeme Redlichovu-Kwongovu rovnicu

$$P = \frac{n RT}{V - nb} - \frac{n^2 a}{V(V + nb)T^{0,5}} \quad (8.6-8)$$

Pre zmes sú látkové konštanty  $a, b$  dané rovnicou (3.3-16), t.j.

$$a = \left( \sum_i y_i \sqrt{a_i} \right)^2 = \left( \frac{n_1}{n} \sqrt{a_1} + \frac{n_2}{n} \sqrt{a_2} + \dots \right)^2$$

$$b = \sum_i y_i b_i = \sum_i \frac{n_i}{n} b_i$$

Pri výpočte parciálnej derivácie  $(\partial P / \partial n_i)_{T, V, n_j}$  z rovnice (8.6-8) bude teda premennou látkové množstvo  $n_i$ . Funkciou zloženia sú látkové konštanty  $a$ ,  $b$  a celkové látkové množstvo  $n$ .

Po vypočítaní parciálnej derivácie a integrácii podľa rovnice (8.6-7) získame vzťah na výpočet fugacitného súčinitela  $\varphi_i$ .

$$\ln \varphi_i = \ln \frac{v}{v-b} + \frac{b_i}{v-b} - \ln z + \frac{ab_i}{RT^{1,5} b^2} \left( \ln \frac{v+b}{v} - \frac{b}{v+b} \right) - \frac{2 \sum_j y_j a_j}{RT^{1,5} b} \ln \frac{v+b}{v} \quad (8.6-9)$$

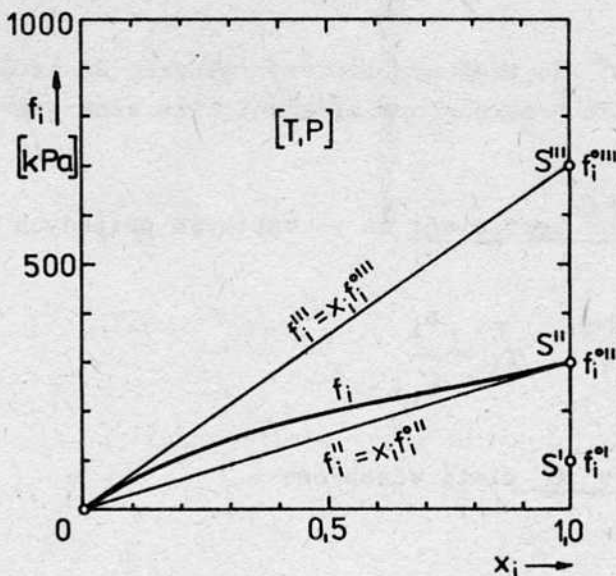
## 8.7 VÝPOČET AKTIVITY A AKTIVITNÉHO SÚČINITEĽA

Štandardný stav na výpočet aktivity a aktivitného súčiniteľa môžeme všeobecne voliť ľubovoľne. Ustálila sa však voľba podľa nasledujúcich zásad.

Ako štandardnú teplotu volíme teplotu sústavy a štandardný tlak volíme buď tlak 100 kPa, tlak sústavy alebo tlak pár (tenziu pár) zložky pri štandardnej teplote. Skupenstvo štandardného stavu volíme spravidla totožné so skupenstvom fázy (roztoku), v ktorej je látka v sústave prítomná (pre každú zložku potrebujeme toľko štandardných stavov, v ktorých fázach sa vyskytuje).

Na obr. 8.4 je priebeh fugacity zložky  $f_i$  v reálnom roztoku (určenej niektorou metódou podľa kap. 8.6) v závislosti od zloženia (mólového zlomku) zložky v roztoku. Body  $S'$ ,  $S''$ ,  $S'''$  označujú zvolené štandardné stavy, s ktorými budeme ďalej počítať.

Štandardný stav  $S'$  charakterizuje teplota sústavy, tlak  $P_0 = 100$  kPa a skupenstvo fázy. Hodí sa na výpočty plynných fáz, pri ktorých predpokladáme v štandardnom stave správanie sa ideálneho plynu. Fugacita čistej zložky v tomto štandardnom stave sa rovná tlaku



Obr. 8.4

Priebeh fugacity zložky v reálnom roztoku a štandardné stavy

$$f_i^{\circ\prime} = P_0 \quad (= 100 \cdot 10^3 \text{ Pa}) \quad (8.7-1)$$

Štandardný stav  $S''$  je určený teplotou, tlakom a skupenstvom roztoku (fázy). Fugacita čistej zložky v tomto štandardnom stave sa rovná fugacite čistej zložky pri teplote a tlaku sústavy

$$f_i^{\circ\prime\prime} = f_i^{\circ}$$

Štandardný stav  $S''$  leží na priamke ideálneho roztoku

$$f_i'' = x_i f_i^{\circ\prime\prime} \quad (8.7-2)$$

ktorá je dotyčnicou ku krvke reálnej fugacity  $f_i$  v bode  $x_i = 1$ . V oblasti, kde sa  $x_i \rightarrow 1$  je  $f_i \rightarrow f_i^{\circ\prime\prime}$ , t.j. fugacita zložky v reálnom roztoku sa blíži fugacite zložky v ideálnom roztoku prípadne až k fugacite čistej zložky v štandardnom stave  $S''$ .

Štandardný stav  $S'''$  leží na priamke ideálneho roztoku

$$f_i''' = x_i f_i^{\circ\prime\prime\prime} \quad (8.7-3)$$

ktorá je dotyčnicou ku krvke reálnej fugacity v bode  $x_i = 0$ . V oblasti, kde sa  $x_i \rightarrow 0$  je  $f_i \rightarrow f_i^{\circ\prime\prime\prime}$ , t.j. fugacita zložky v reálnom roztoku sa blíži k fugacite zložky v ideálnom roztoku (v zriedenom roztoku). Fugacitu počítame tak, ako by išlo o ideálny roztok so štandardnou fugacitou  $f_i^{\circ\prime\prime\prime}$ . Fugacita  $f_i^{\circ\prime\prime\prime}$  je však len hypotetická; zložka ju nemôže nikdy dosiahnuť.

Štandardný stav  $S'''$  je tiež hypotetickým stavom. Je to štandardný stav vzťahovaný na roztok v nekonečnom zriedení, nie však stav nekonečne zriedeneho roztoku.

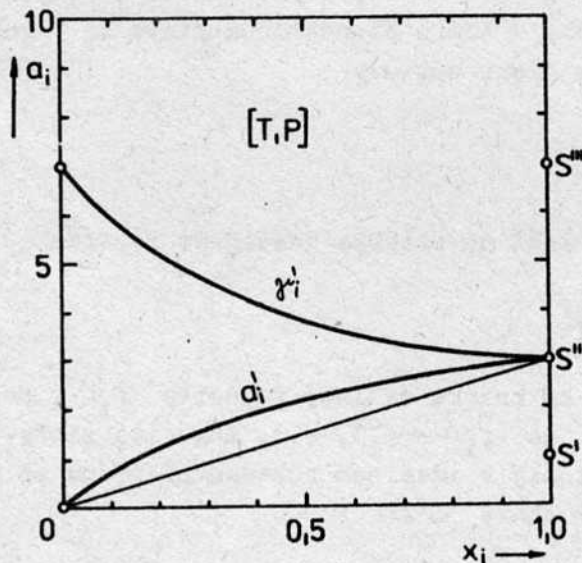
Aktivita a aktivitný koeficient sa vo všetkých prípadoch vypočítajú z rovníc

$$a_i = \frac{f_i}{f_i^o}, \quad \gamma_i = \frac{a_i}{x_i}$$

Pre štandardný stav  $S'$  platí všeobecne

$$a'_i = \frac{f_i}{f_i^{o'}} = \frac{f_i}{P_o} \quad (8.7-4)$$

$$\gamma'_i = \frac{a_i}{x_i} = \frac{f_i}{P_o x_i} \quad (8.7-5)$$



Obr. 8.5

Priebeh aktivity  $a'_i$ , aktivitného koeficientu  $\gamma'_i$   
(vzhľadom na štandardný stav  $S'$ )

Priebeh kriviek  $a'_i$  a  $\gamma'_i$  v závislosti od  $x_i$  je na obr. 8.5. Pre  $x_i \rightarrow 0$  bude však podľa rov. (8.7-3)  $f_i = x_i f_i''' = x_i f_i^o$ , takže

$$a'_i = x_i \frac{f_i^o}{P_o} \quad (8.7-6)$$

$$\gamma'_i = \frac{f_i^{0\prime\prime}}{P_0} \quad (8.7-7)$$

Pre  $x_i \rightarrow 1$  platí podľa rovnice (8.7-2)  $f_i = x_i f_i^{0\prime\prime}$ , teda

$$a'_i = x_i \frac{f_i^{0\prime\prime}}{P_0} \quad (8.7-8)$$

$$\gamma'_i = \frac{f_i^{0\prime\prime}}{P_0} \quad (8.7-9)$$

Pre štandardný stav S'' platí všeobecne

$$a''_i = \frac{f_i}{f_i^{0\prime\prime}} \quad (8.7-10)$$

$$\gamma''_i = \frac{a''_i}{x_i} = \frac{f_i}{f_i^{0\prime\prime} x_i} \quad (8.7-11)$$

Priebeh kriviek  $a''_i$  a  $\gamma''_i$  v závislosti od  $x_i$  je na obr. 8.6. Pre  $x_i \rightarrow 0$

$$a''_i = x_i \frac{f_i^{0\prime\prime}}{f_i^{0\prime\prime}} \quad (8.7-12)$$

$$\gamma''_i = \frac{f_i^{0\prime\prime}}{f_i^{0\prime\prime}} \quad (8.7-13)$$

a pre  $x_i \rightarrow 1$

$$a''_i = x_i \frac{f_i^{0\prime\prime}}{f_i^{0\prime\prime}} = x_i \quad (8.7-14)$$

$$\gamma''_i = 1 \quad (8.7-15)$$

Pre štandardný stav S''' platí všeobecne

$$a'''_i = \frac{f_i}{f_i^{0\prime\prime\prime}} \quad (8.7-16)$$

$$\gamma_i''' = \frac{a_i'''}{x_i}$$

(8.7-17)

Pre  $x_i \rightarrow 0$  teda

$$a_i''' = x_i \frac{f_i^{0'''}}{f_i^{0'''}} = x_i$$

(8.7-18)

$$\gamma_i''' = 1$$

(8.7-19)

a pre  $x_i \rightarrow 1$ 

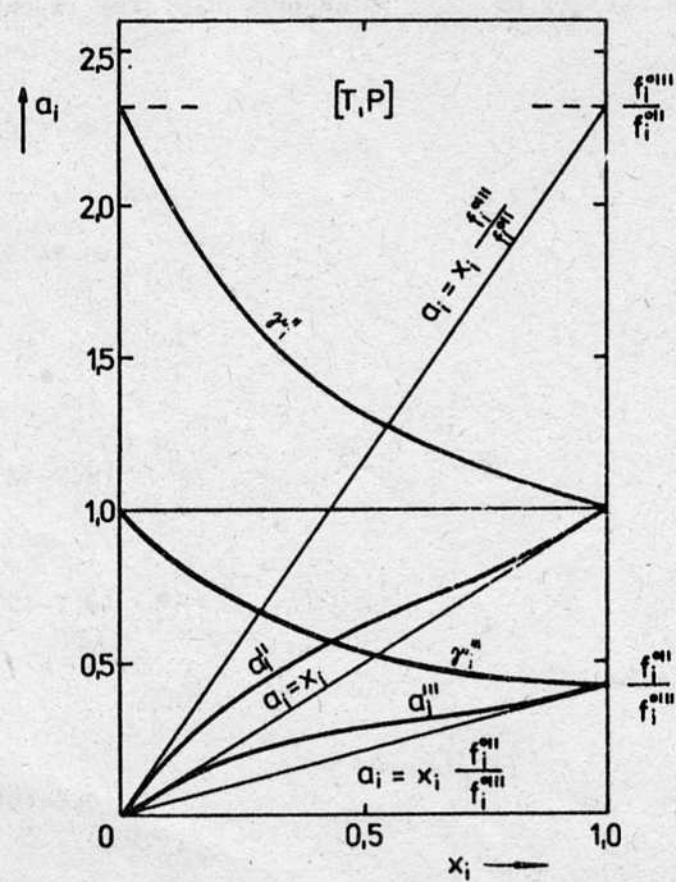
$$a_i''' = x_i \frac{f_i^{0''}}{f_i^{0'''}}.$$

(8.7-20)

$$\gamma_i''' = \frac{f_i^{0''}}{f_i^{0'''}}$$

(8.7-21)

Krivky aktivít  $a_i'''$  a aktivitných súčiniek  $\gamma_i'''$  vzťahovaných na štandardný stav  $S'''$  sú opäť na obr. 8.6.



Obr. 8.6

Priebeh aktivít  $a_i''$ ,  $a_i'''$  a aktivitných koeficientov  $\gamma_i''$ ,  $\gamma_i'''$  (vzhľadom na štandardný stav  $S'''$ )

Z predchádzajúcich rovníc vyplýva, že na výpočet aktivít a aktivitných súčinitelov nemusíme poznáť hodnoty fugacity v celom rozsahu koncentrácie.

Pomer medzi aktivitami vzťahovanými na rôzne štandardné stavy môžeme získať, ak fugacitu zložky v roztoku  $f_i$  vyjadrimo pomocou aktivít vzťahovaných na rôzne štandardné stavy, t.j.

$$f_i = a'_i f_i^{0'} = a''_i f_i^{0''} = a'''_i f_i^{0'''}$$
 (8.7-22)

a teda

$$\frac{a'_i}{a''_i} = \frac{f_i^{0''}}{f_i^{0'}} \quad \left( = \frac{\gamma'_i}{\gamma''_i} \right)$$
 (8.7-23)

$$\frac{a''_i}{a'''_i} = \frac{f_i^{0'''}}{f_i^{0''}} \quad \left( = \frac{\gamma''_i}{\gamma'''_i} \right)$$
 (8.7-24)

Tieto pomery sú konštantné, určené len hodnotami fugacít zložky v štandardných stavoch. Ak poznáme priebeh aktivity na jeden štandardný stav, z rovnice (8.7-23) alebo (8.7-24) môžeme vypočítať priebeh aktivity voči inému štandardnému stavu.

Podiel  $f_i^{0'''}/f_i^{0''}$ , ktorý sa súčasne rovná aktivitnému súčinителu  $\gamma''_i$  pri nekonečnom zriedení ( $x_i \rightarrow 0$ ), môžeme určiť extrapoláciou tohto aktivitného súčinителя na nulovú koncentráciu.